

FIG. 1A

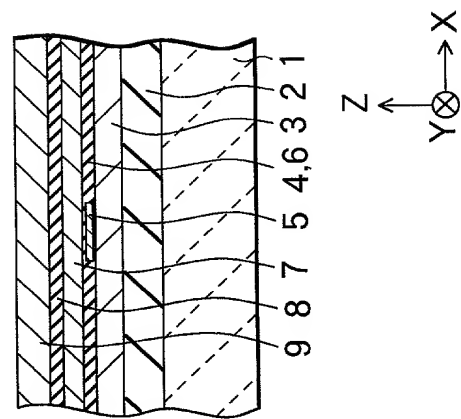


FIG. 1B

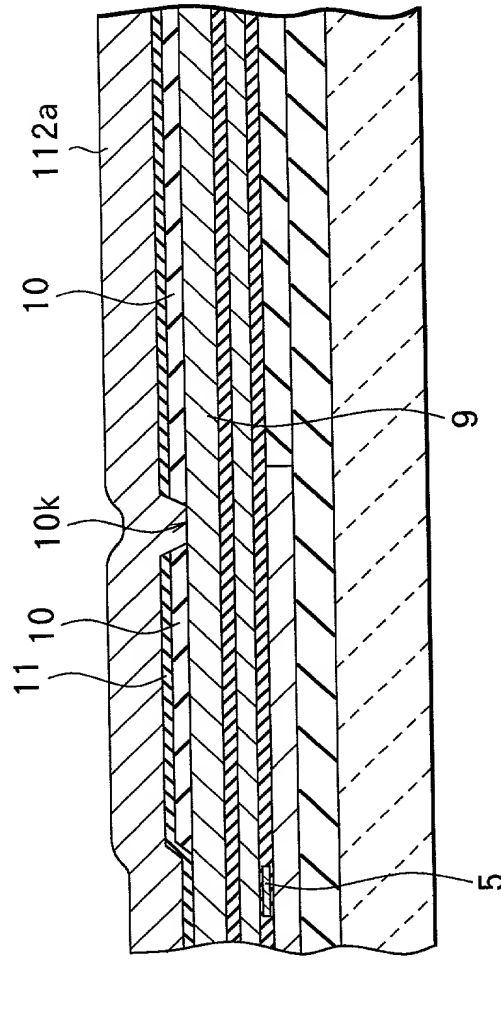


FIG. 2A

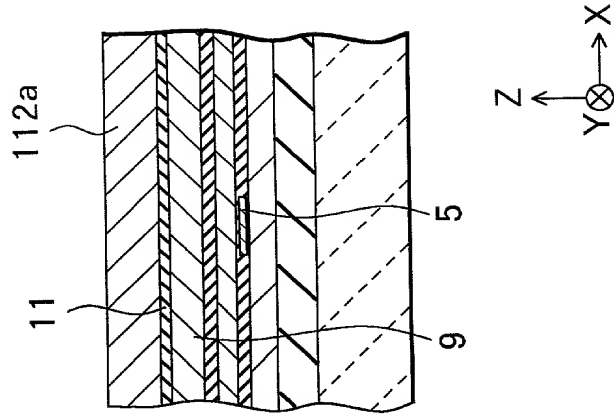


FIG. 2B

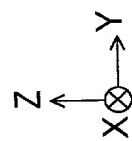
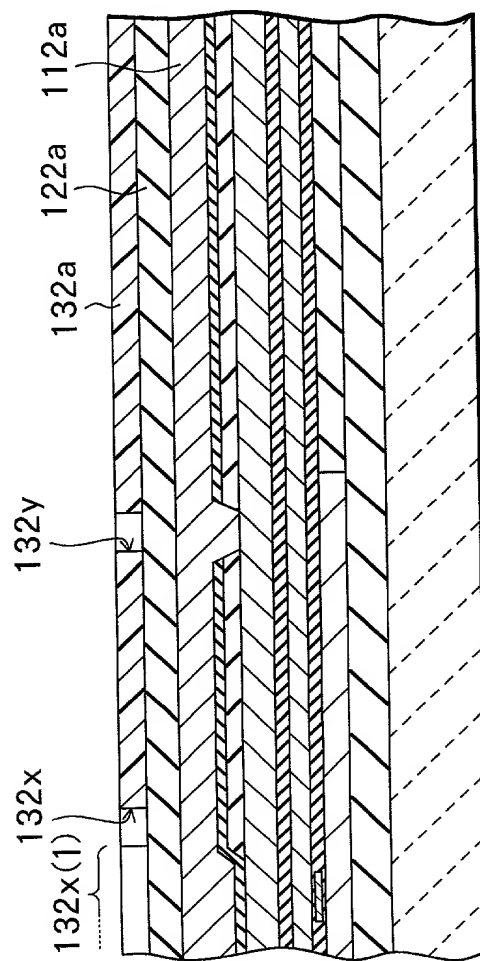


FIG. 3A

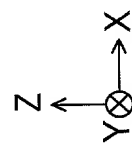
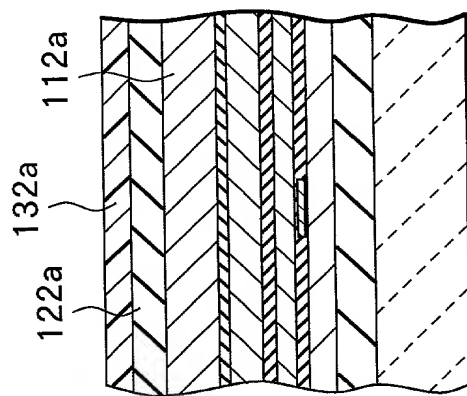


FIG. 3B

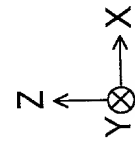
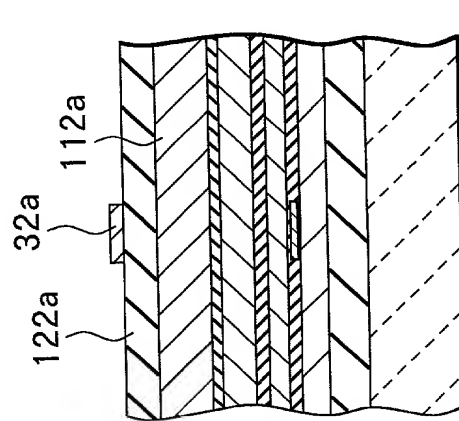


FIG. 4B

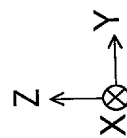
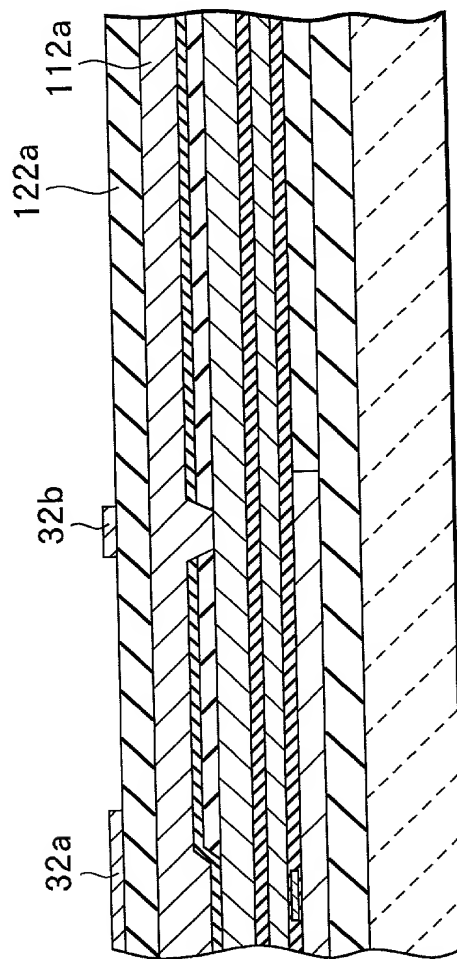


FIG. 4A

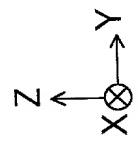
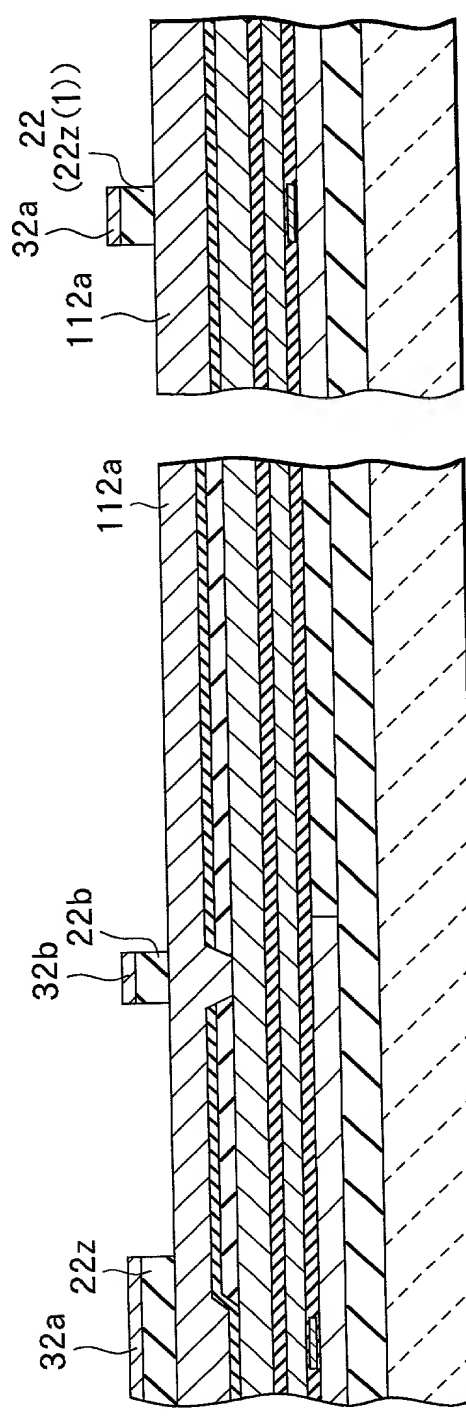


FIG. 5A

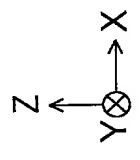


FIG. 5B

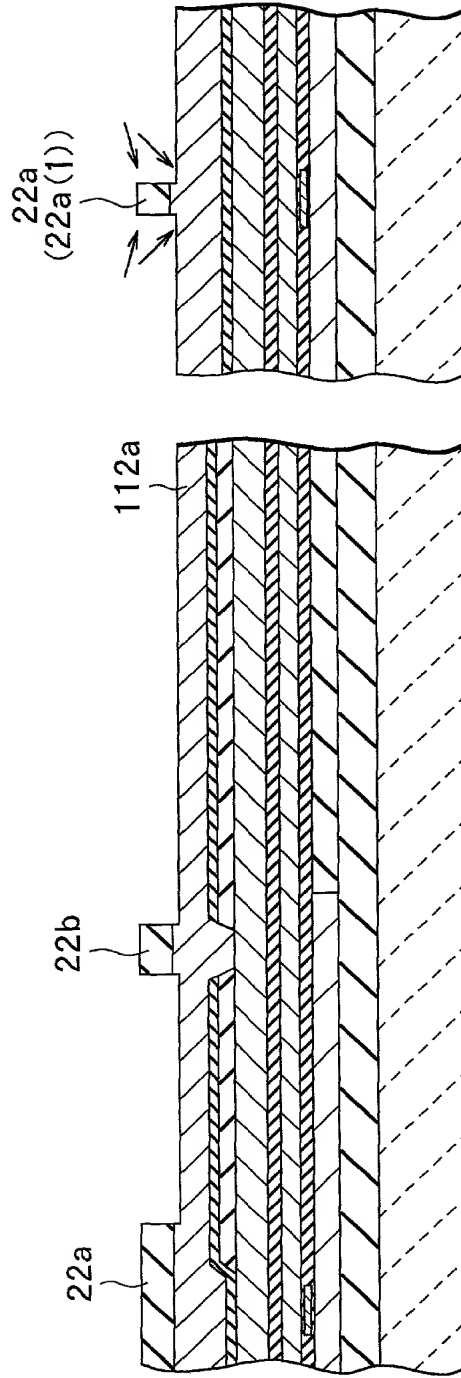


FIG.6A

FIG.6B

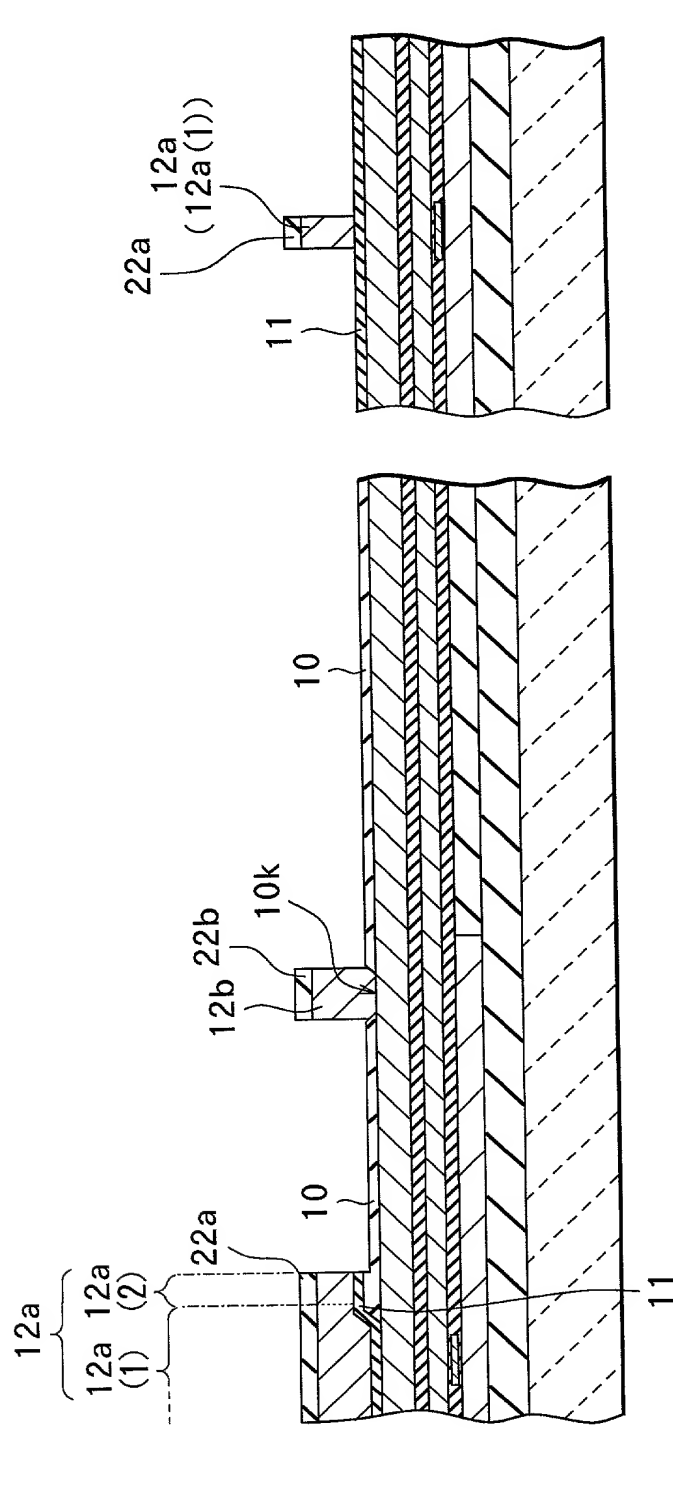


FIG. 7A

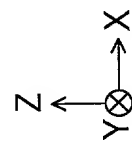


FIG. 7B

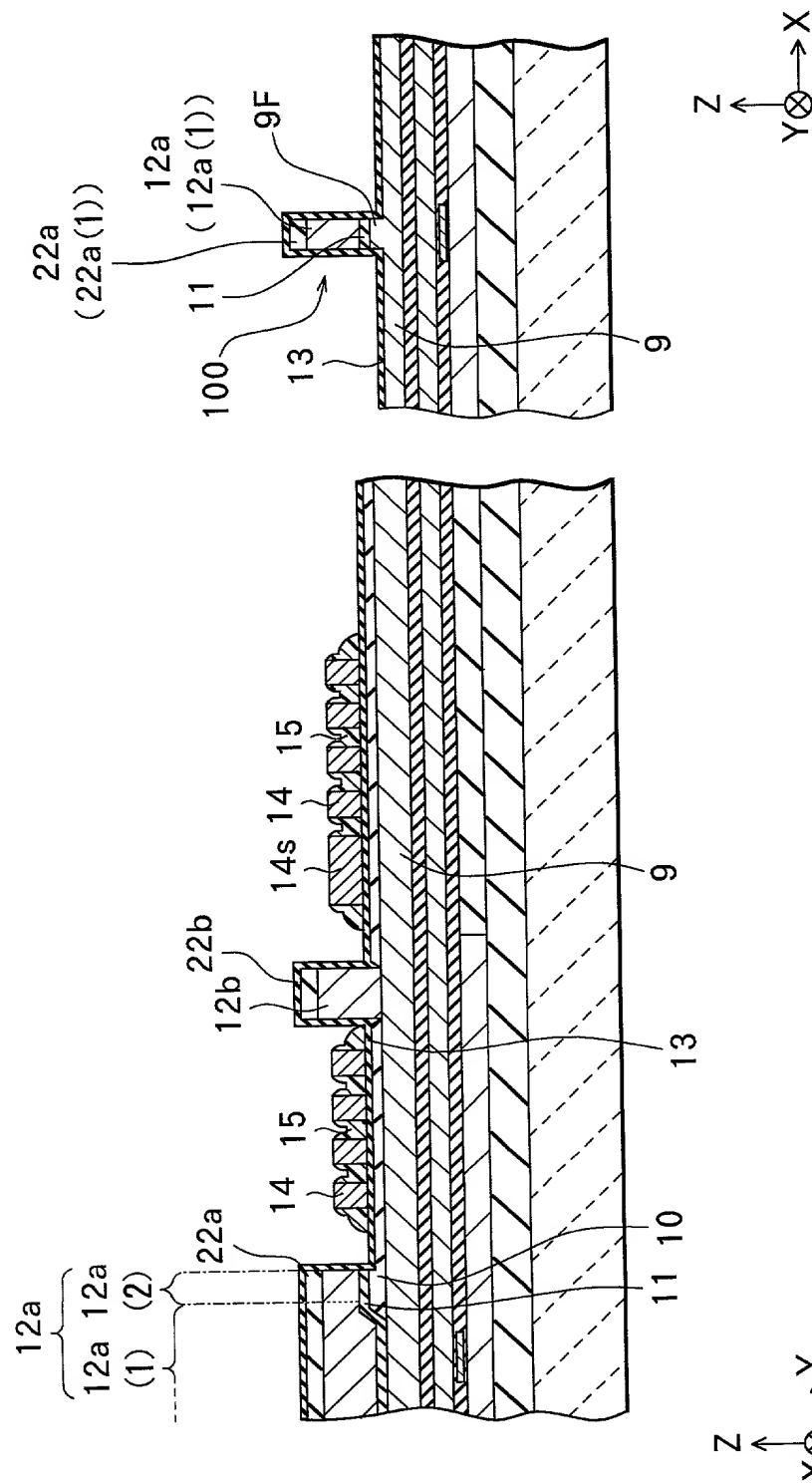


FIG. 8B

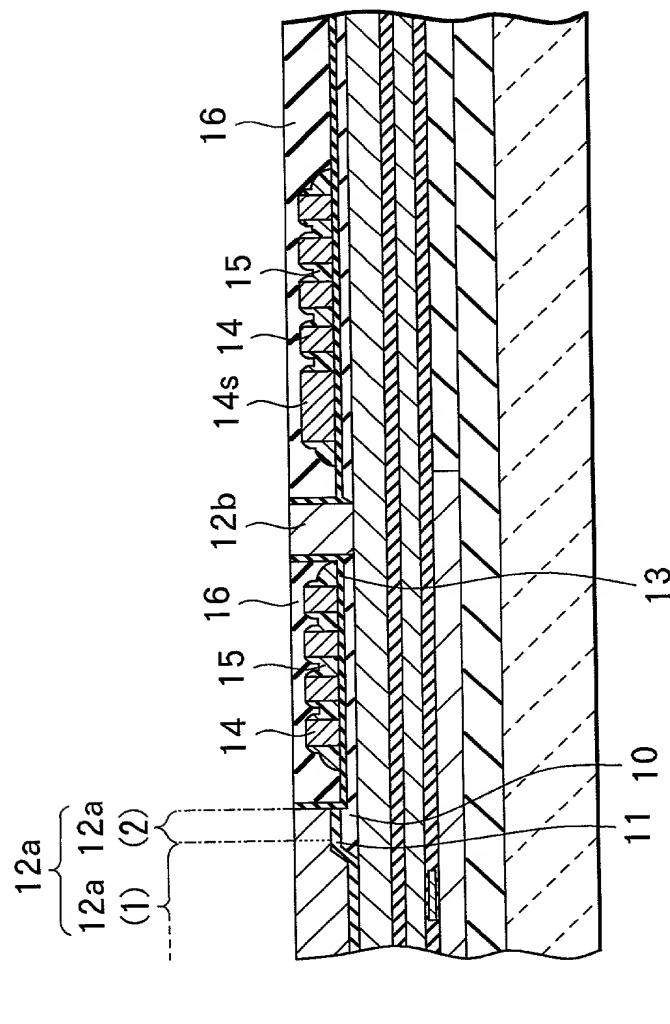


FIG. 9A

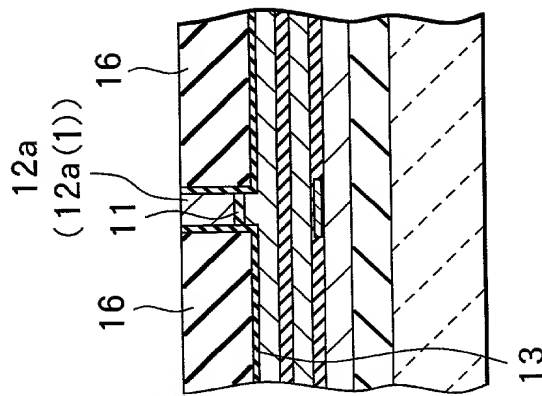


FIG. 9B

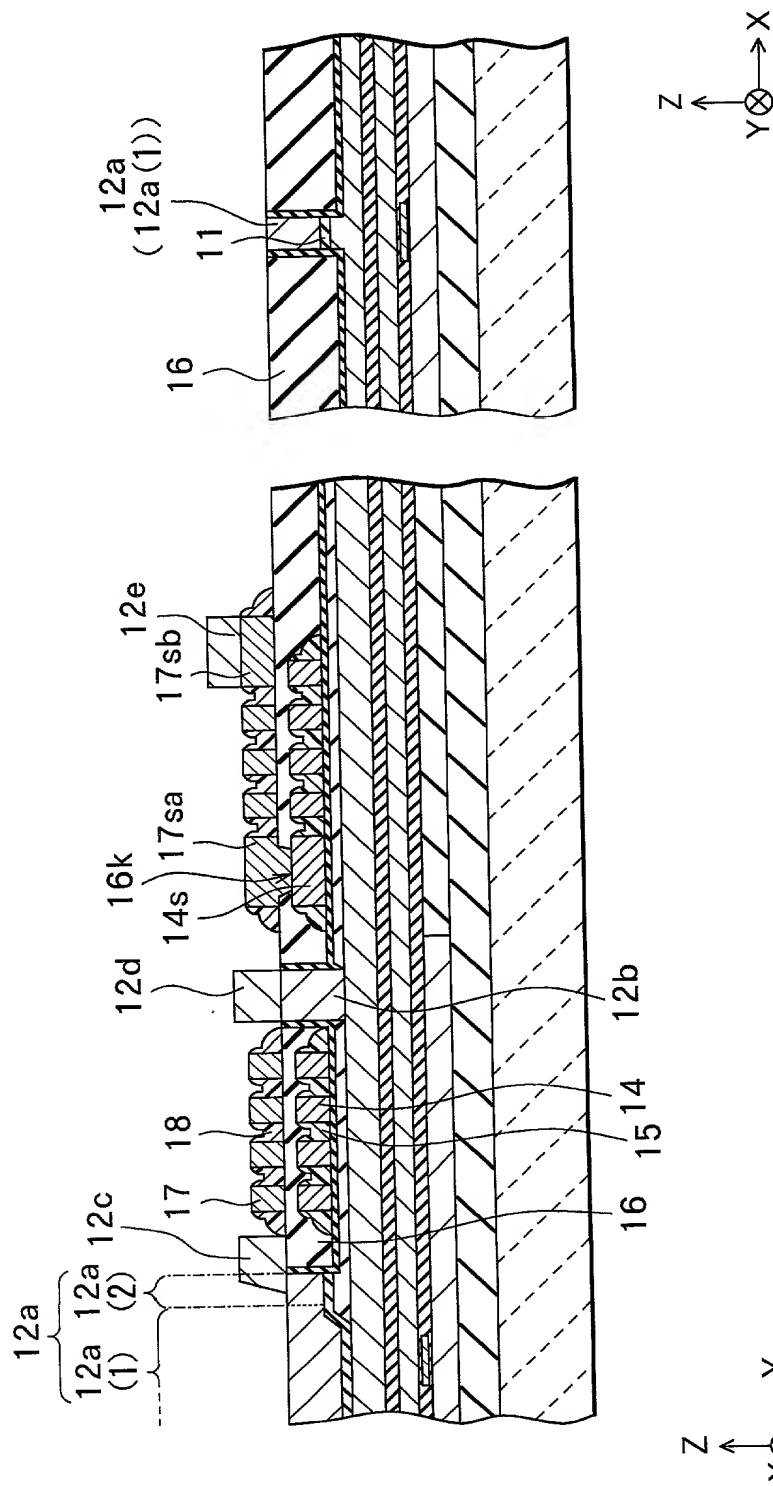


FIG.10B

FIG.10A

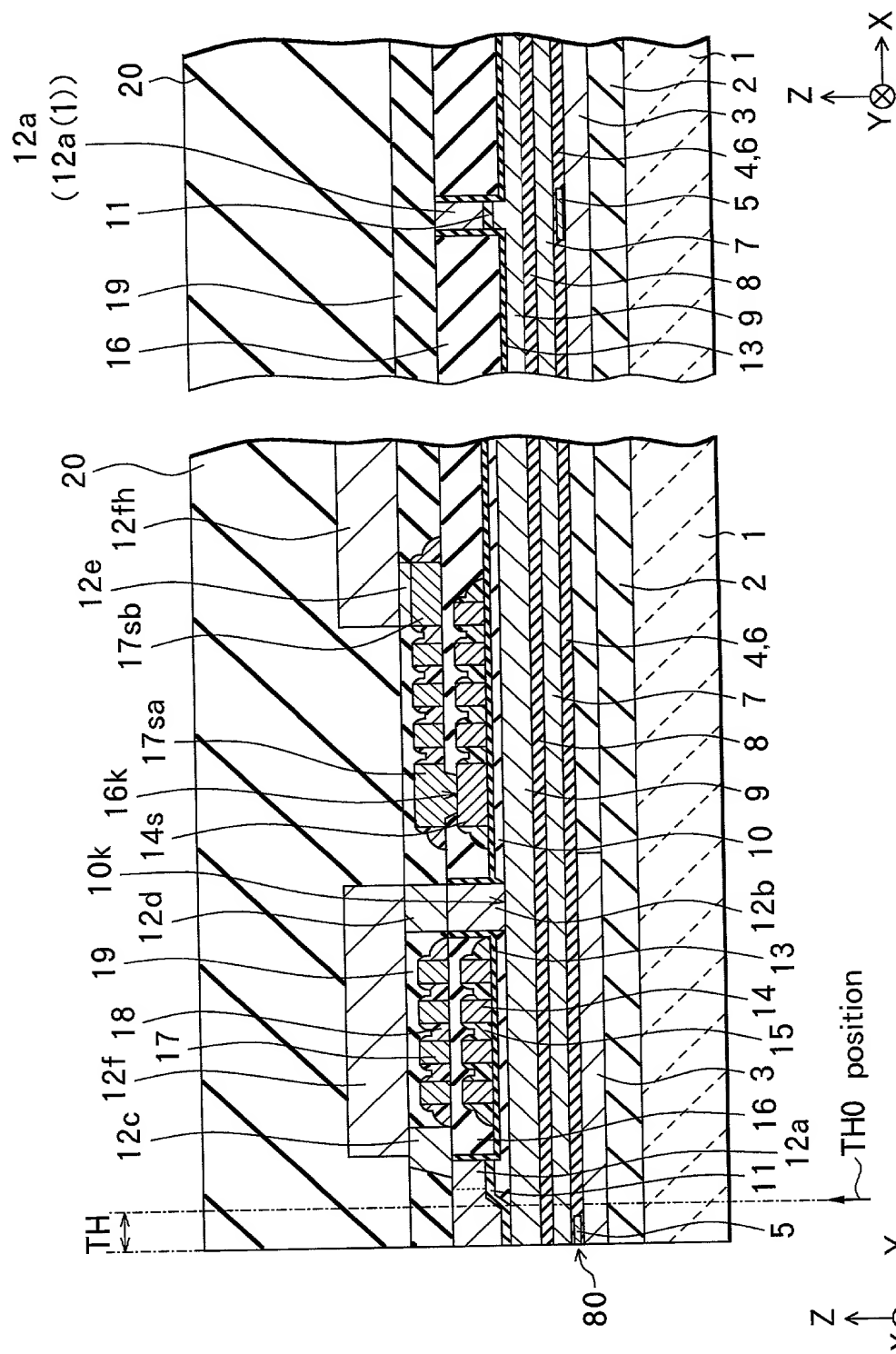


FIG. 11B

FIG. 11A

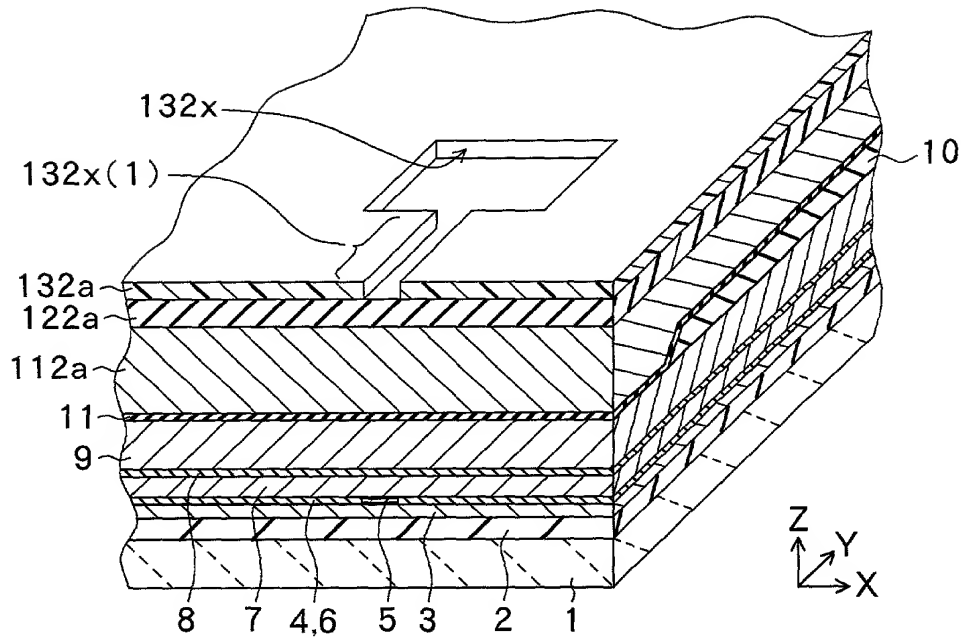


FIG.12

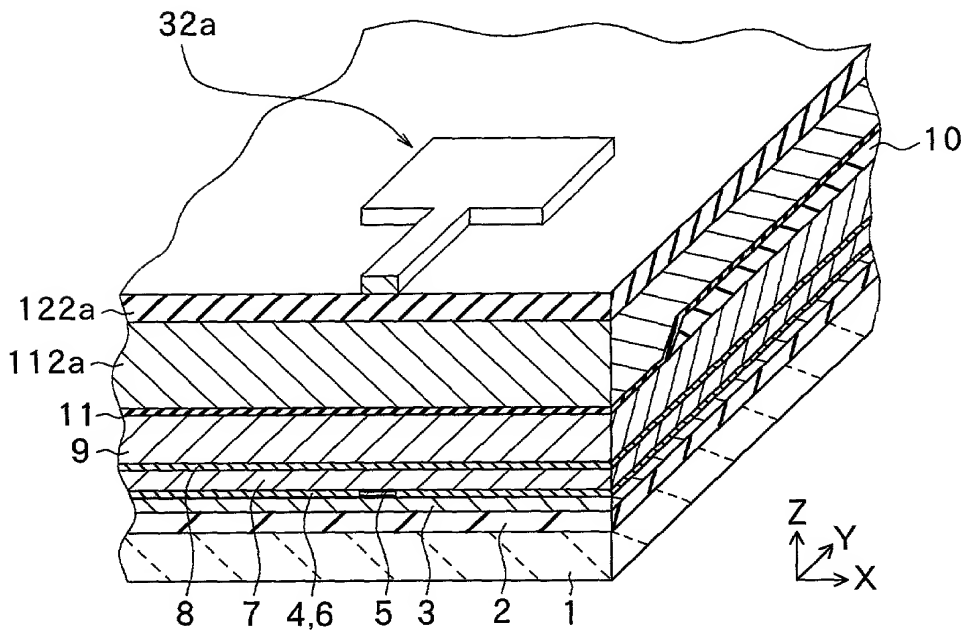


FIG.13

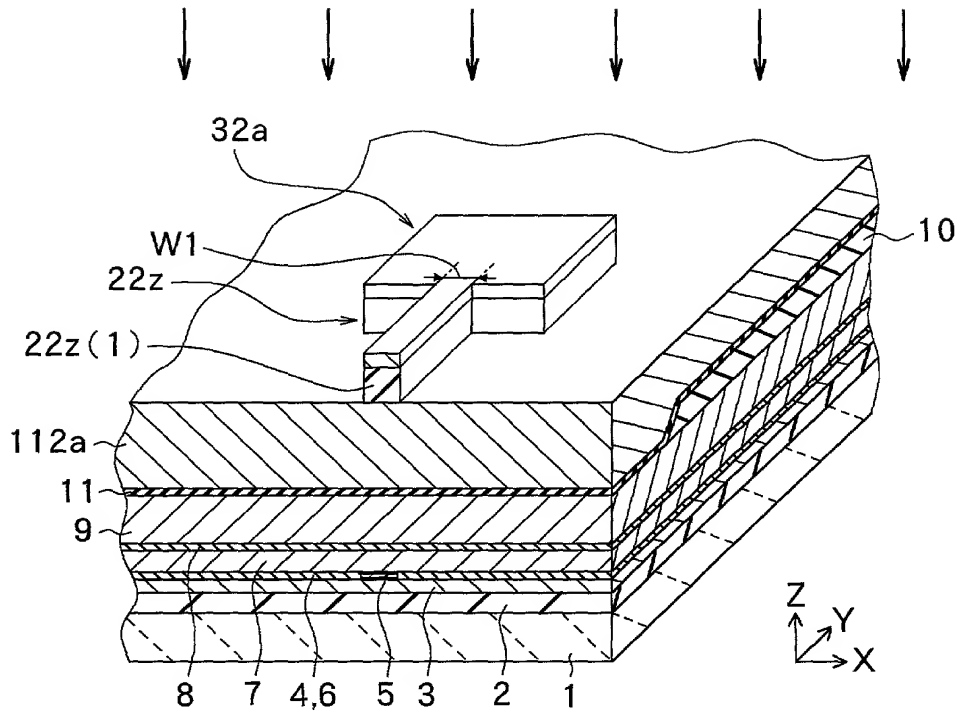


FIG. 14

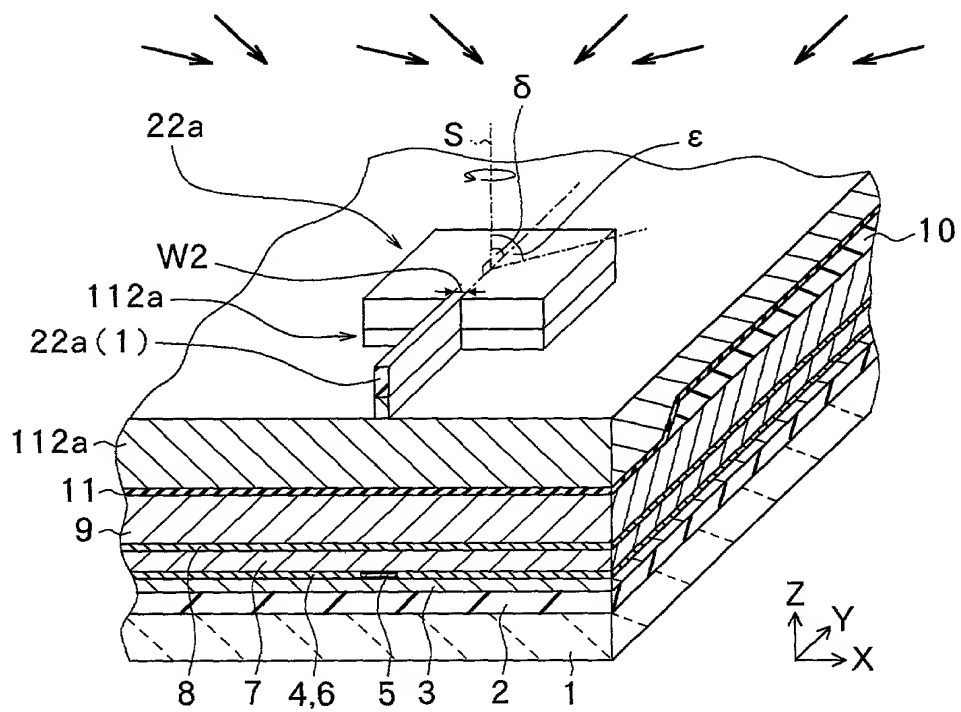
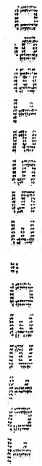
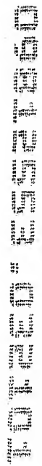


FIG. 15

[illegible][illegible]

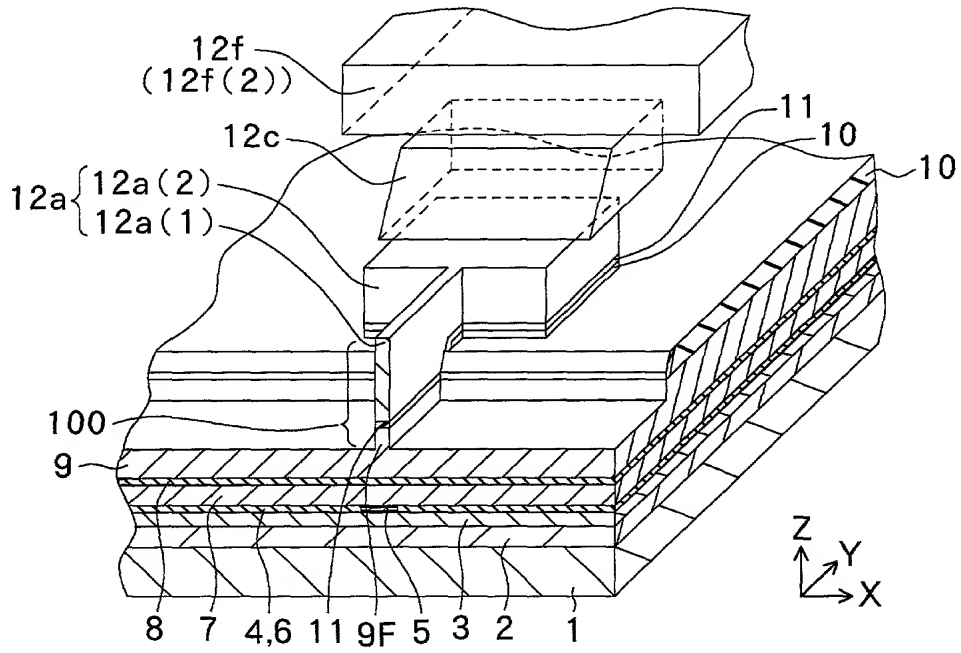


FIG.18

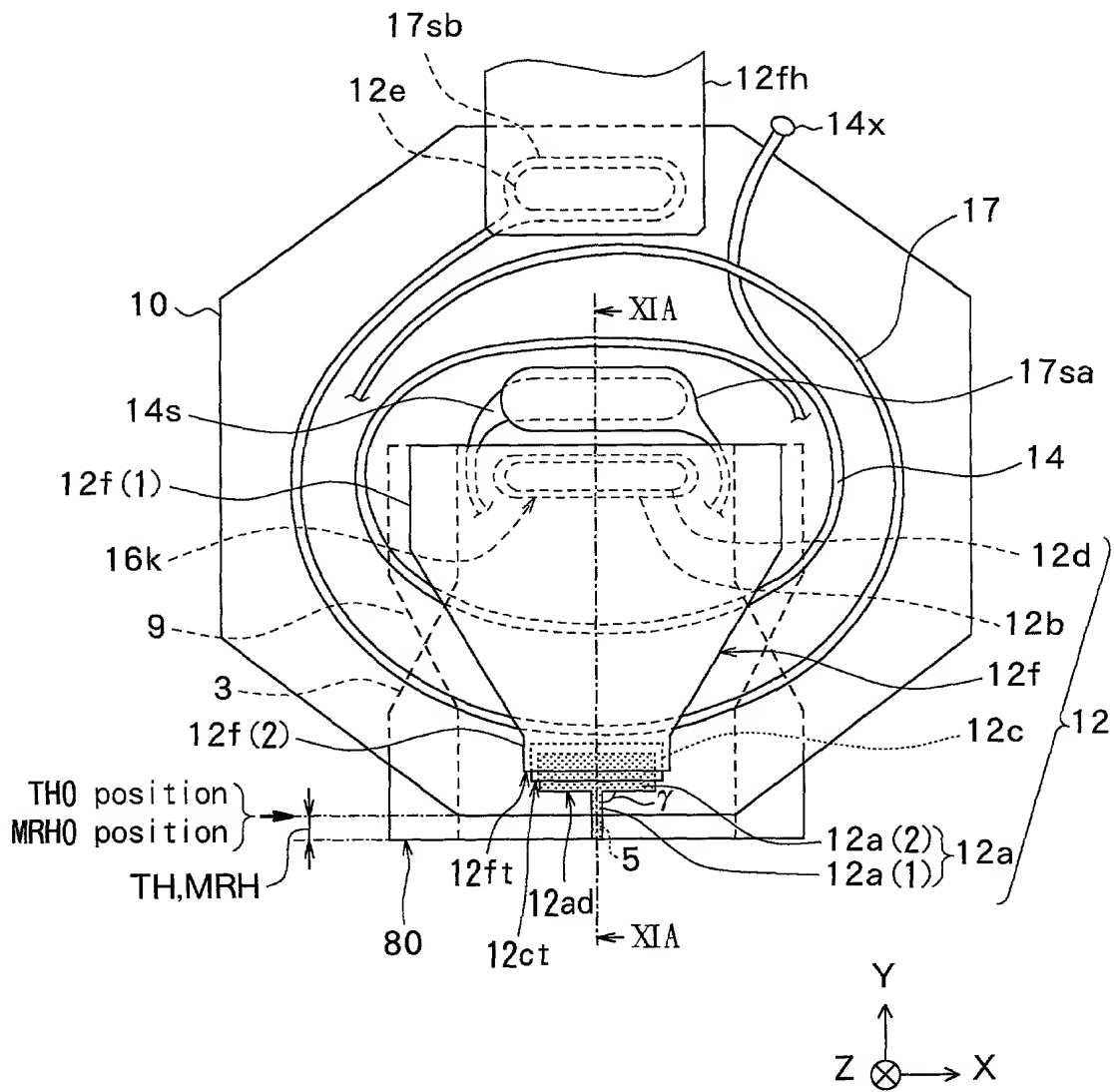


FIG.19

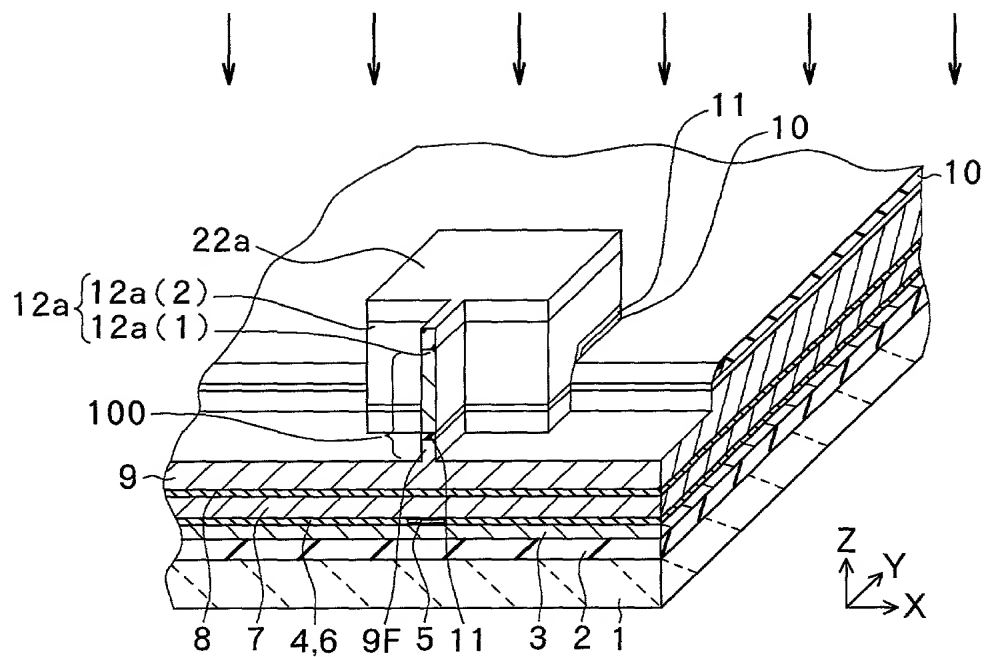


FIG.20

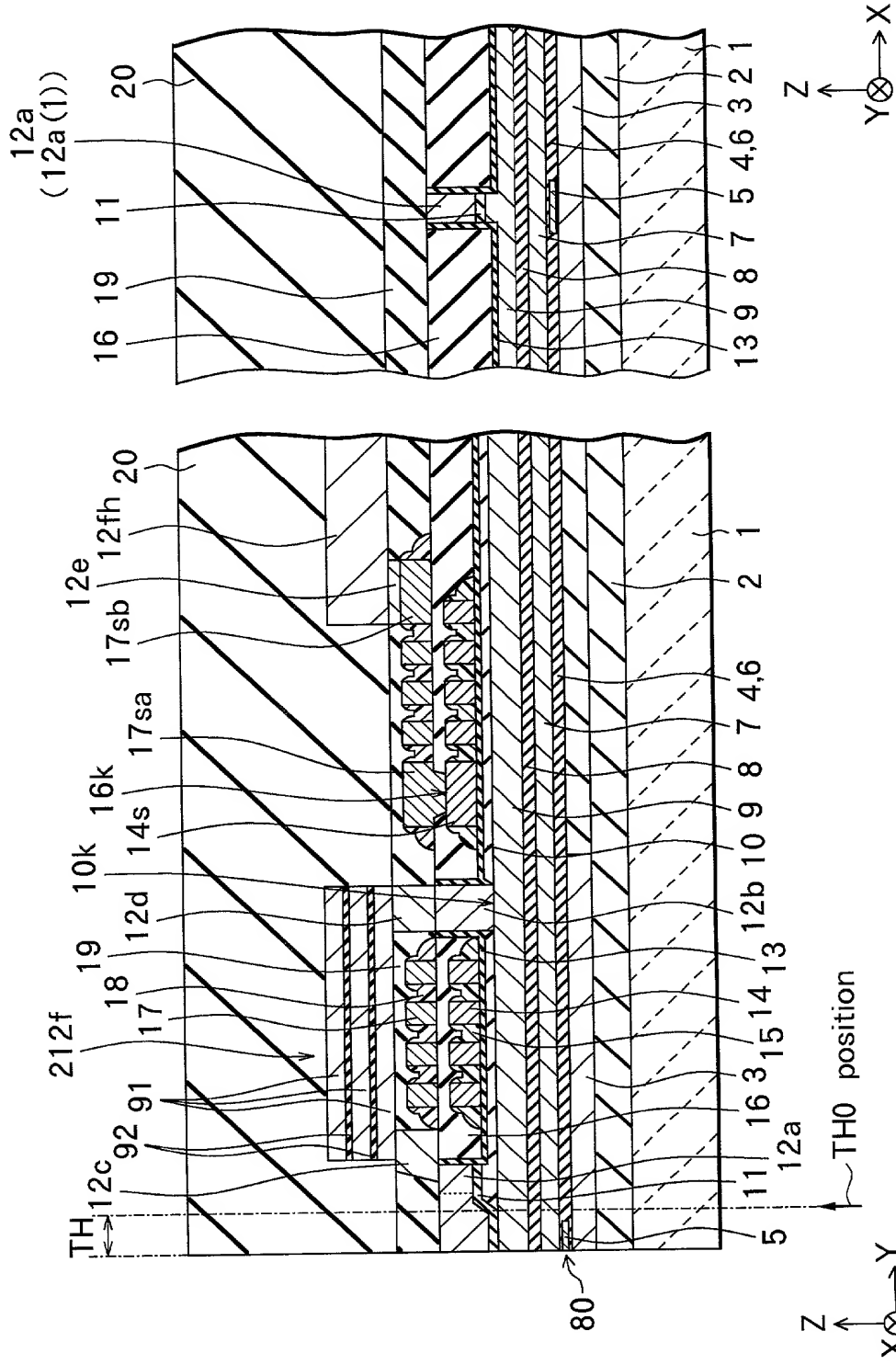


FIG. 21B

FIG. 21A

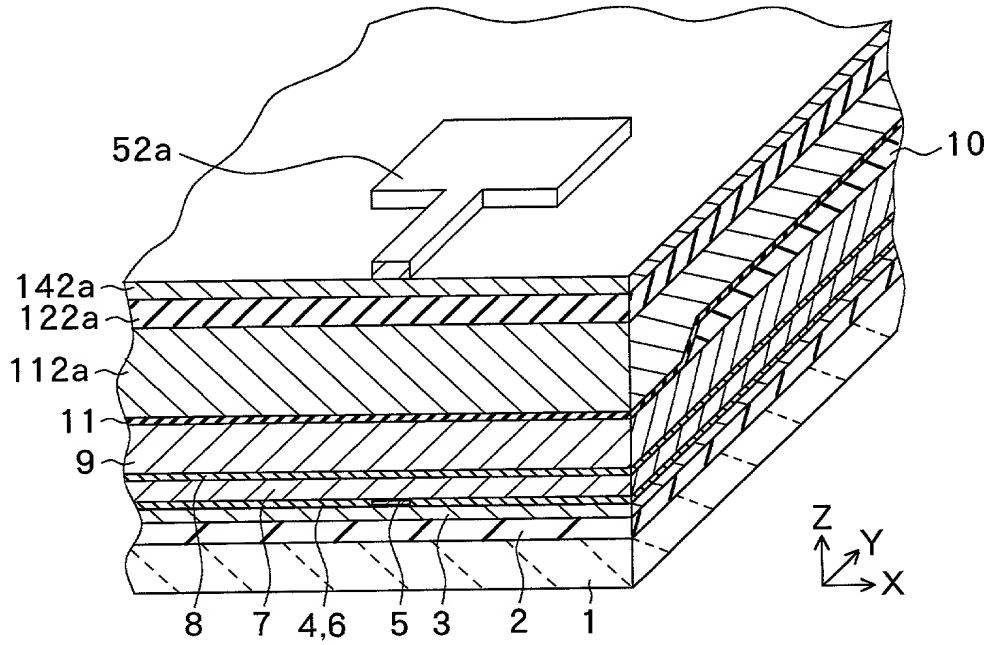


FIG. 22

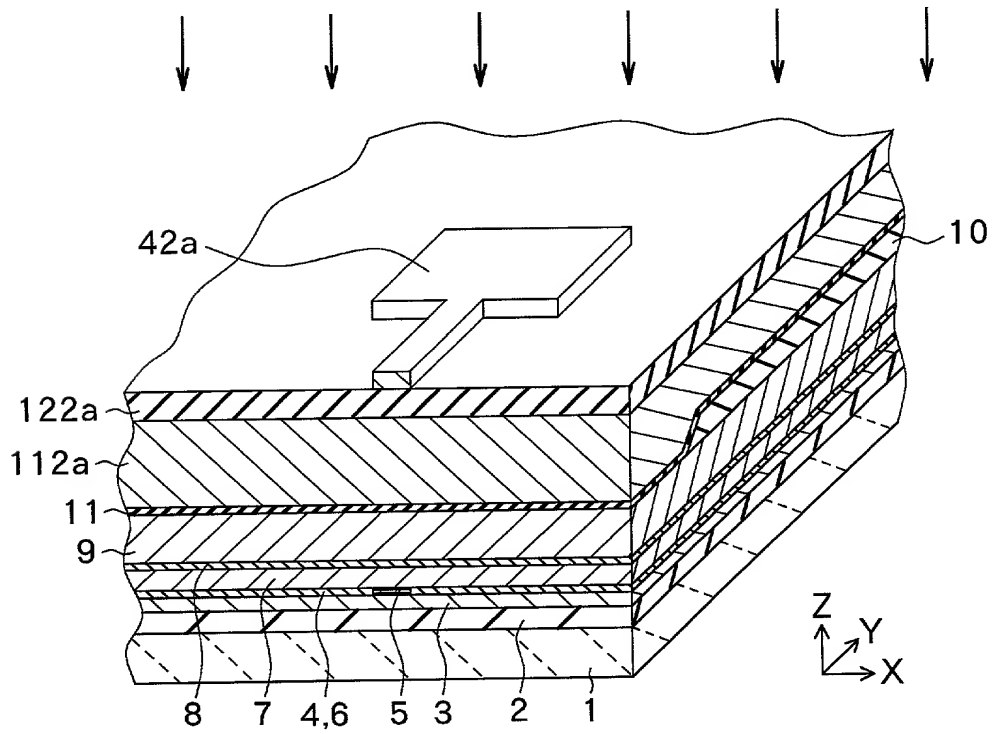


FIG. 23

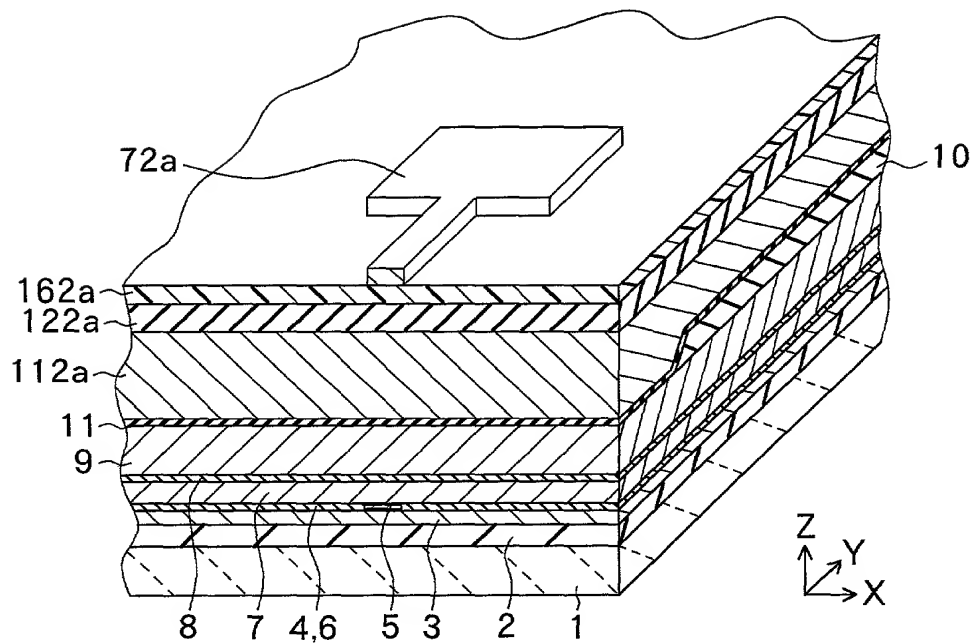


FIG. 24

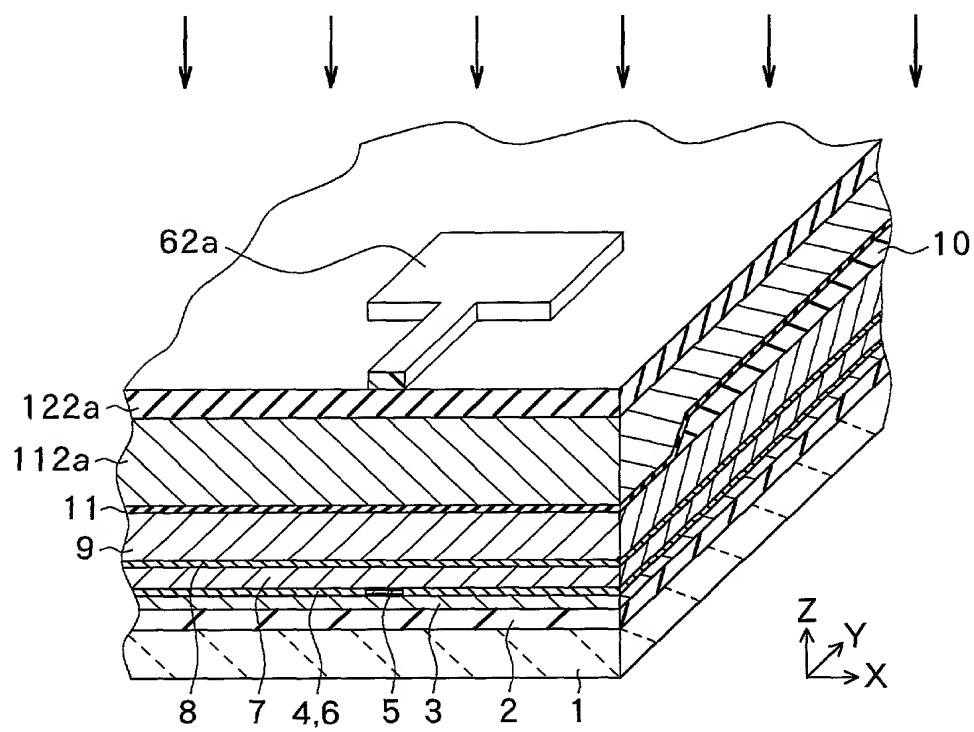


FIG. 25

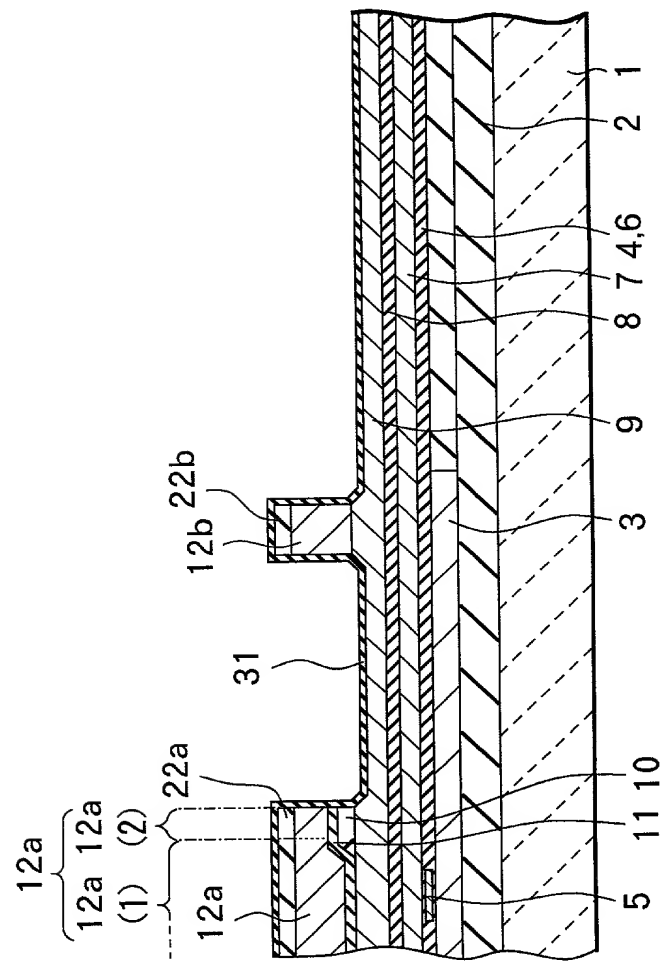


FIG.26A

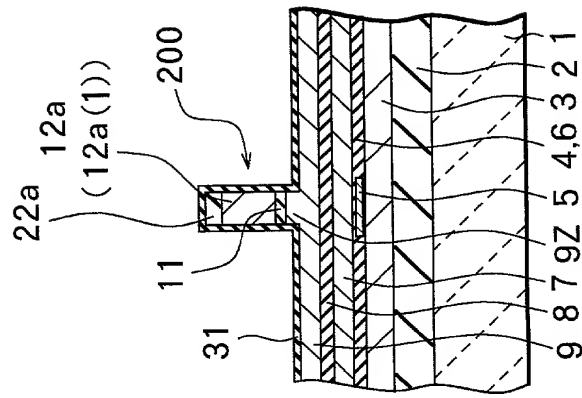


FIG.26B

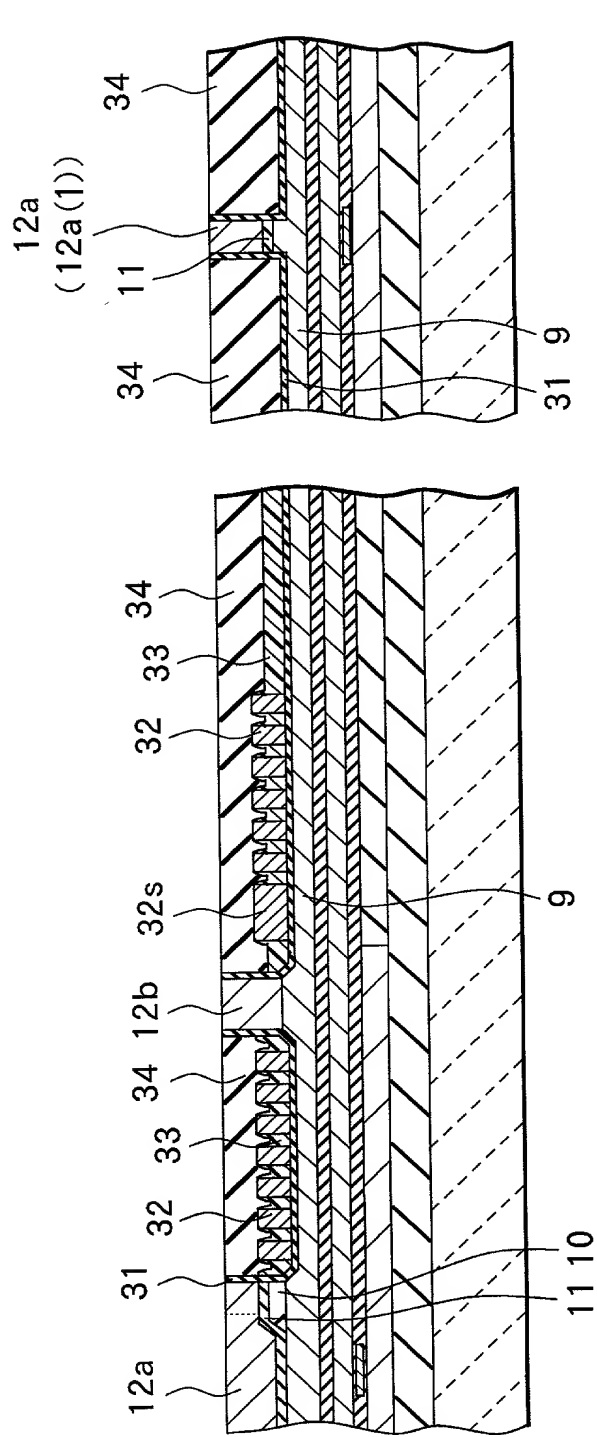


FIG.27B

FIG.27A

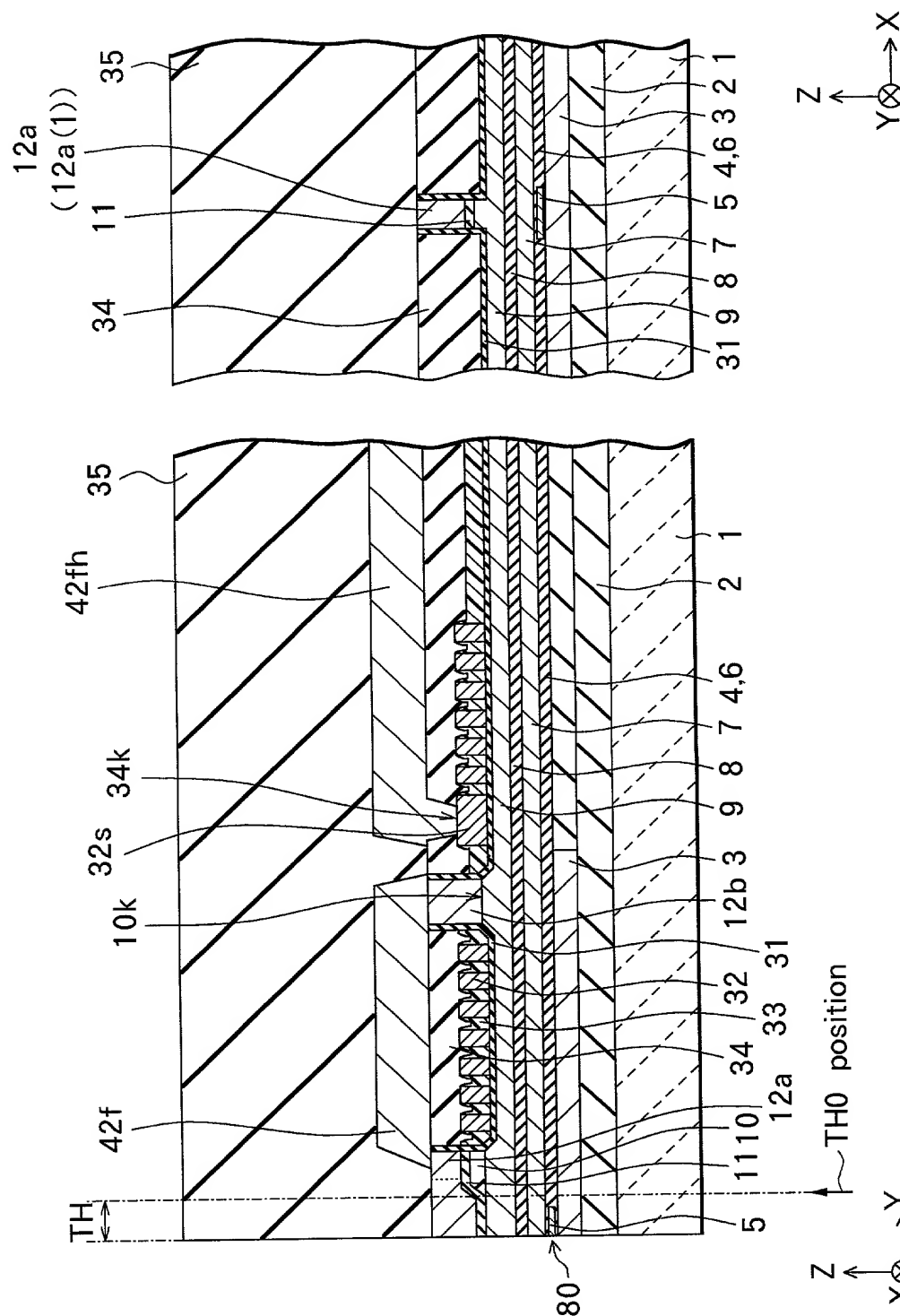


FIG. 28A

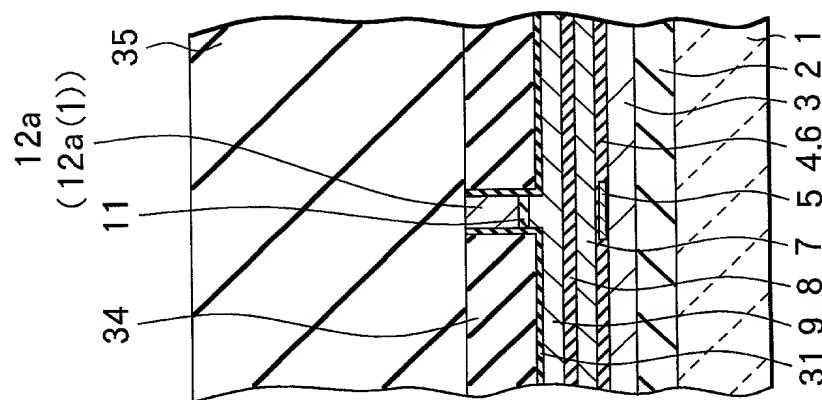


FIG. 28B

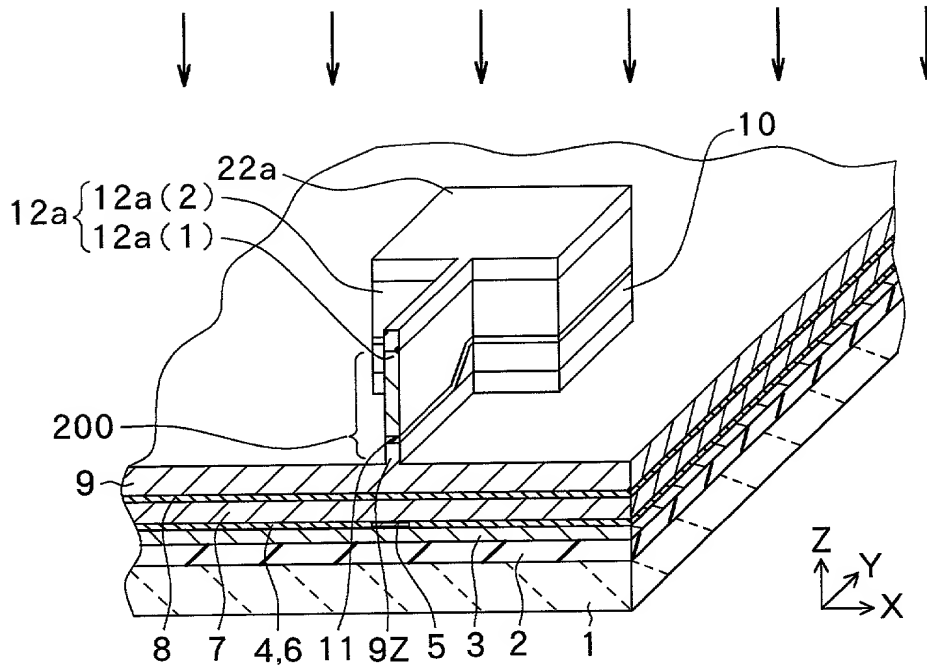


FIG.29

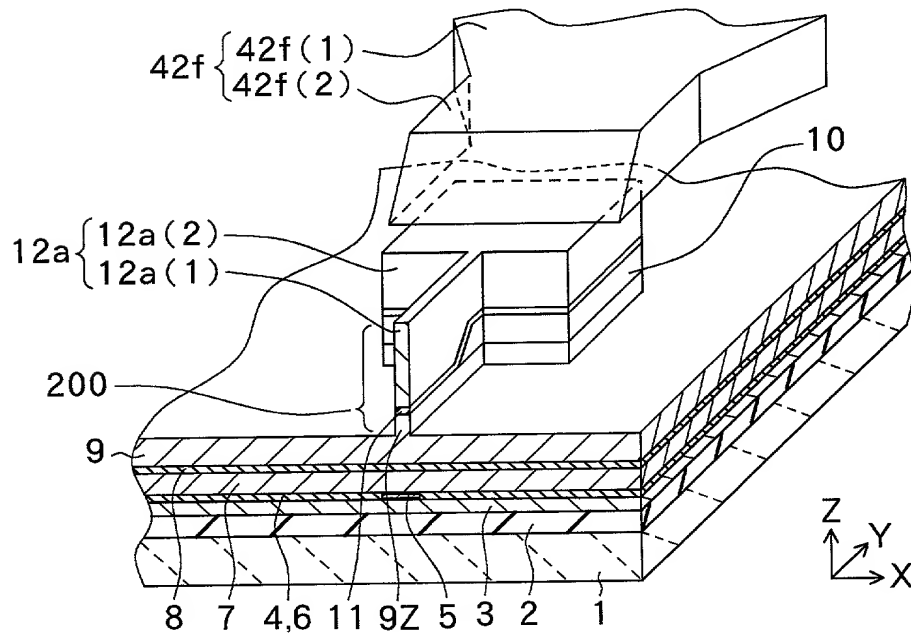


FIG.30

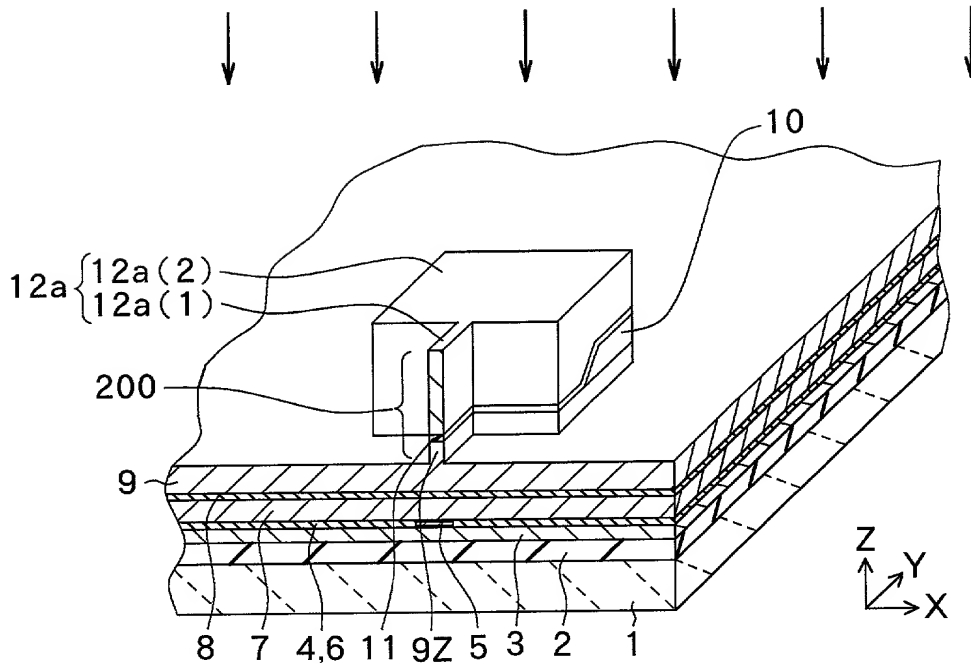


FIG.32

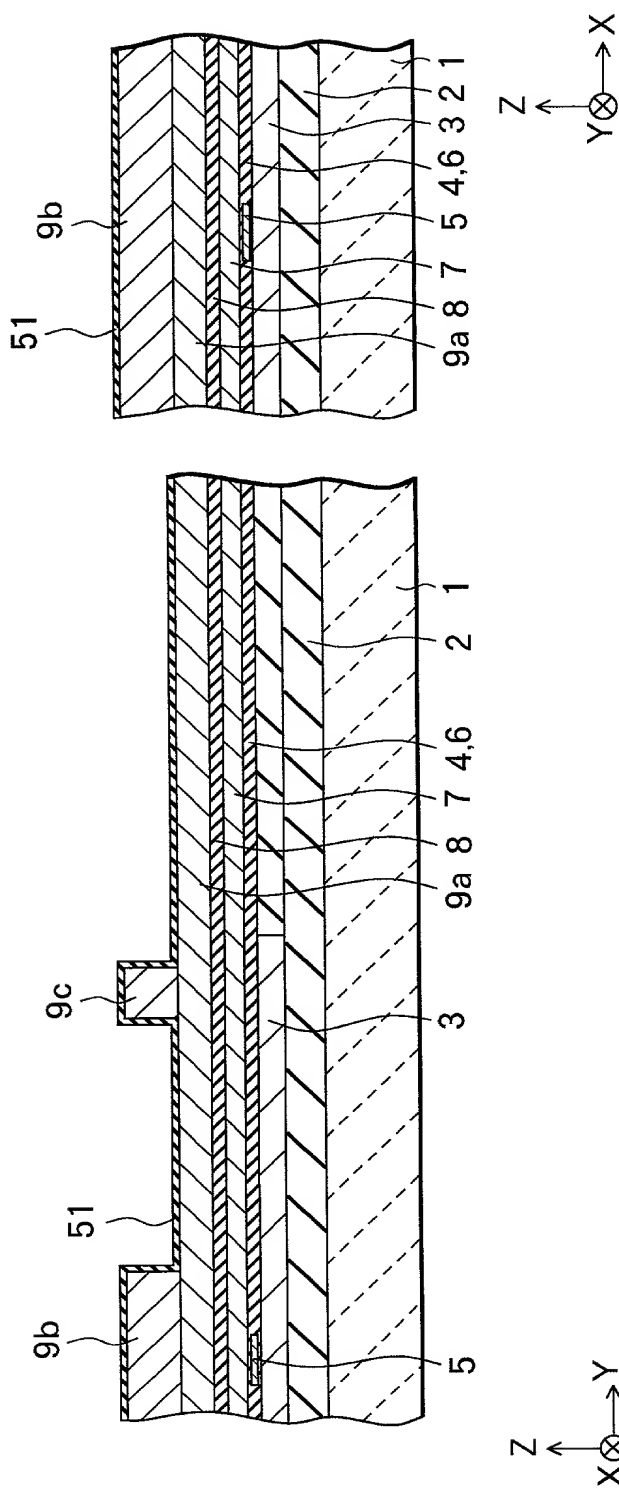


FIG. 33A

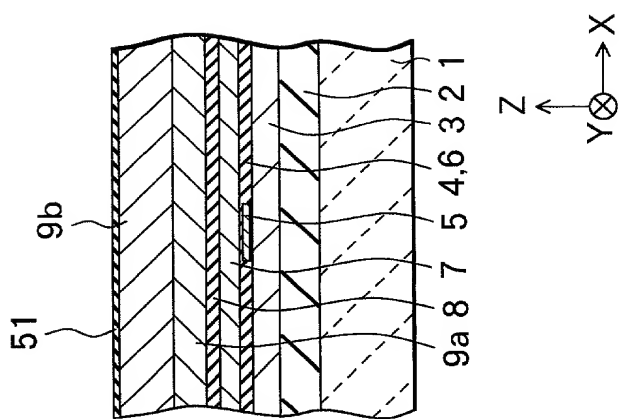


FIG. 33B

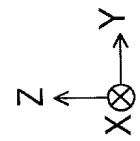
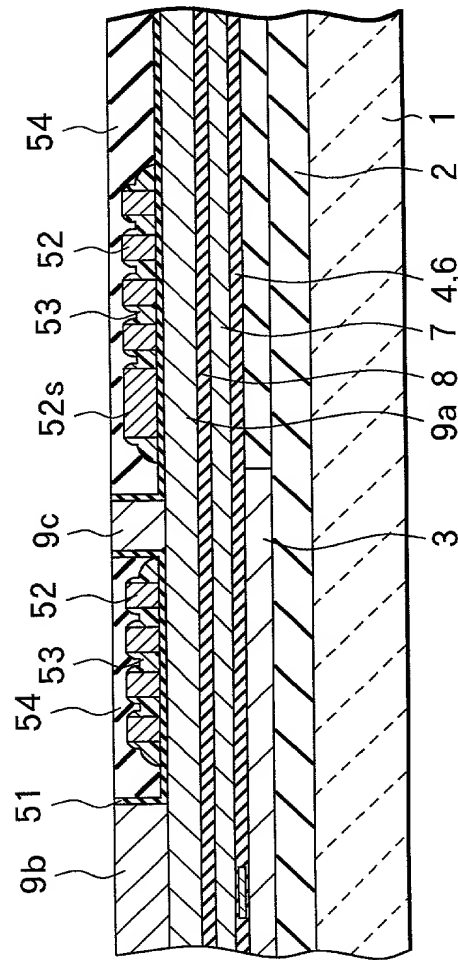


FIG. 34A

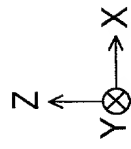
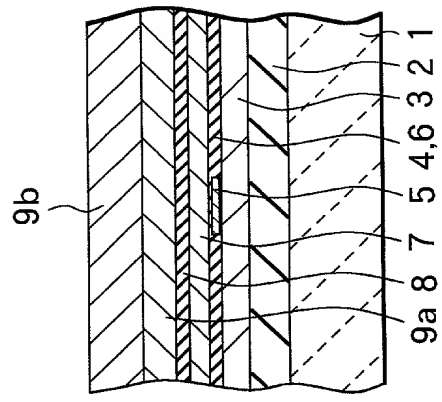


FIG. 34B

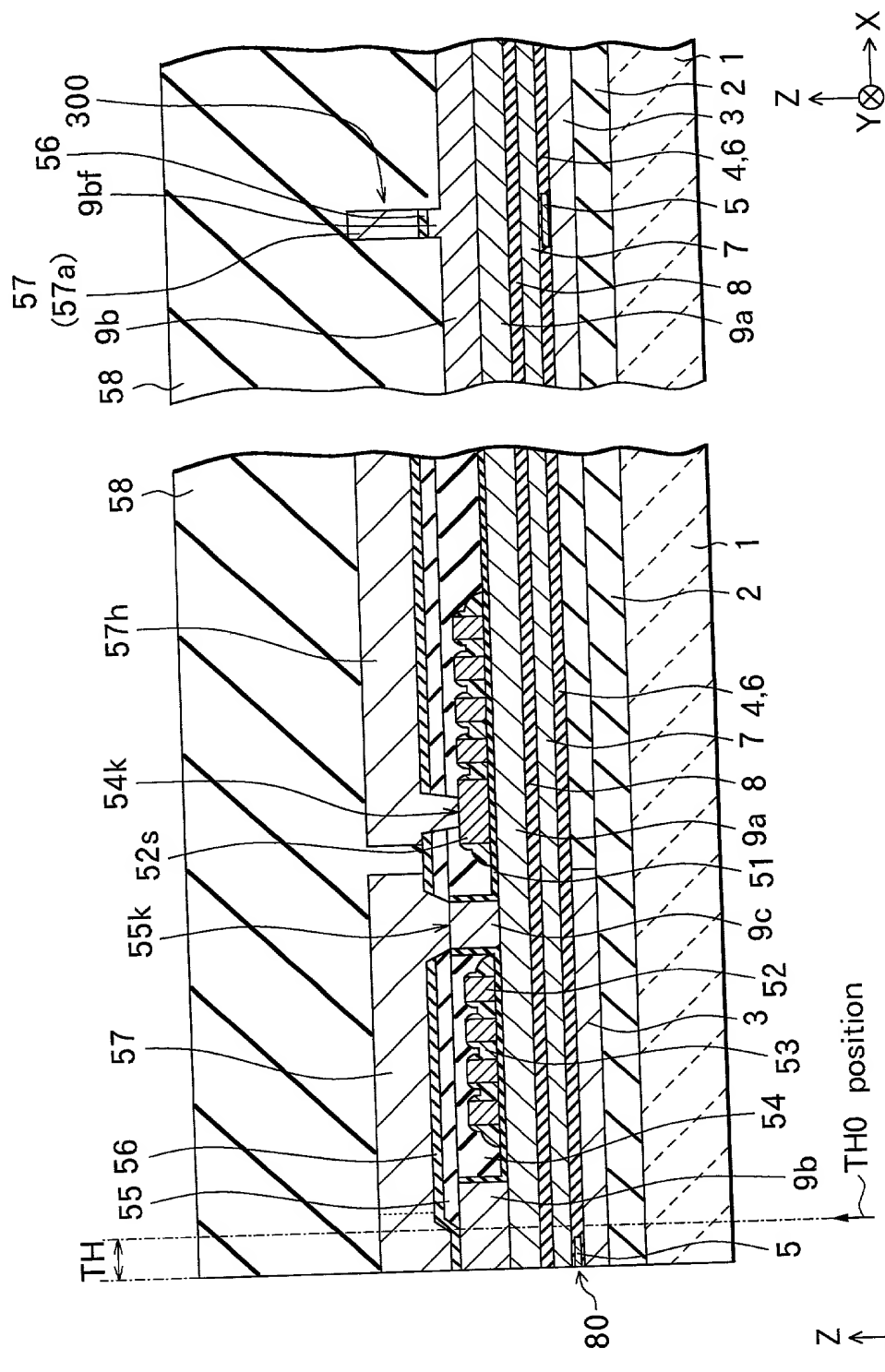


FIG. 35B

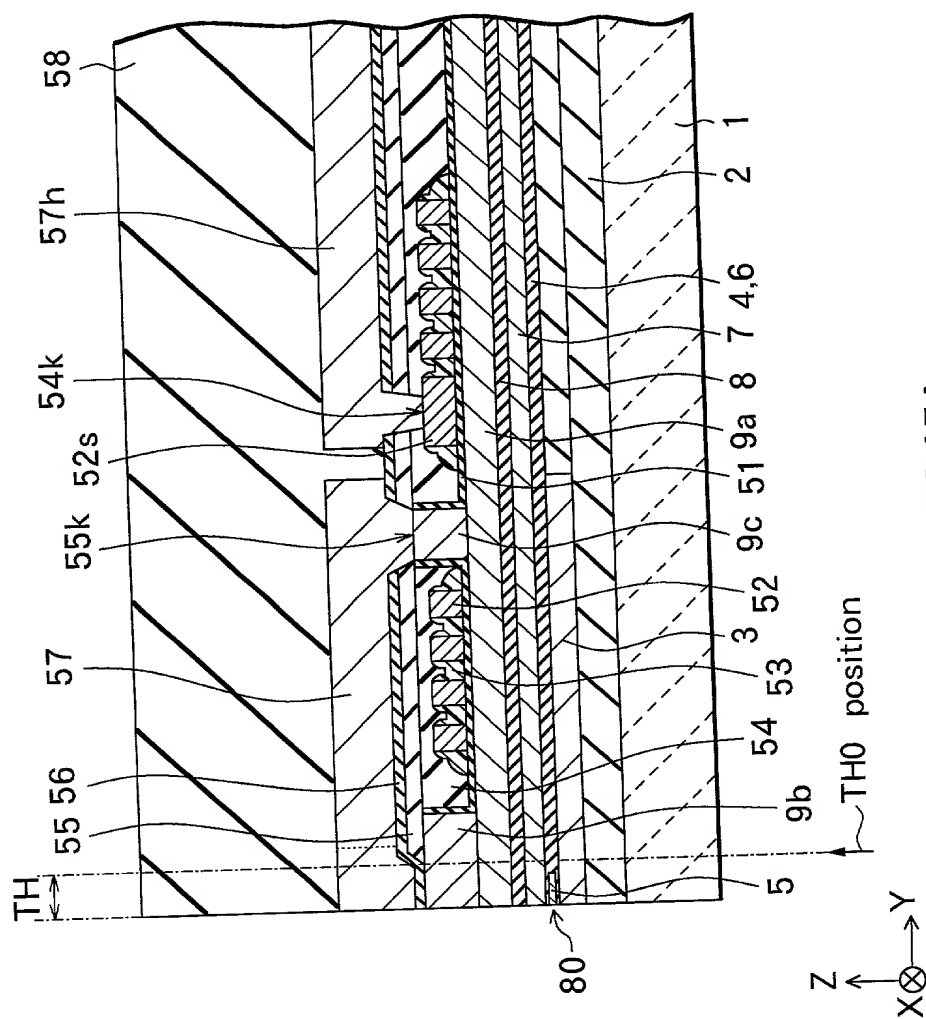


FIG. 35A

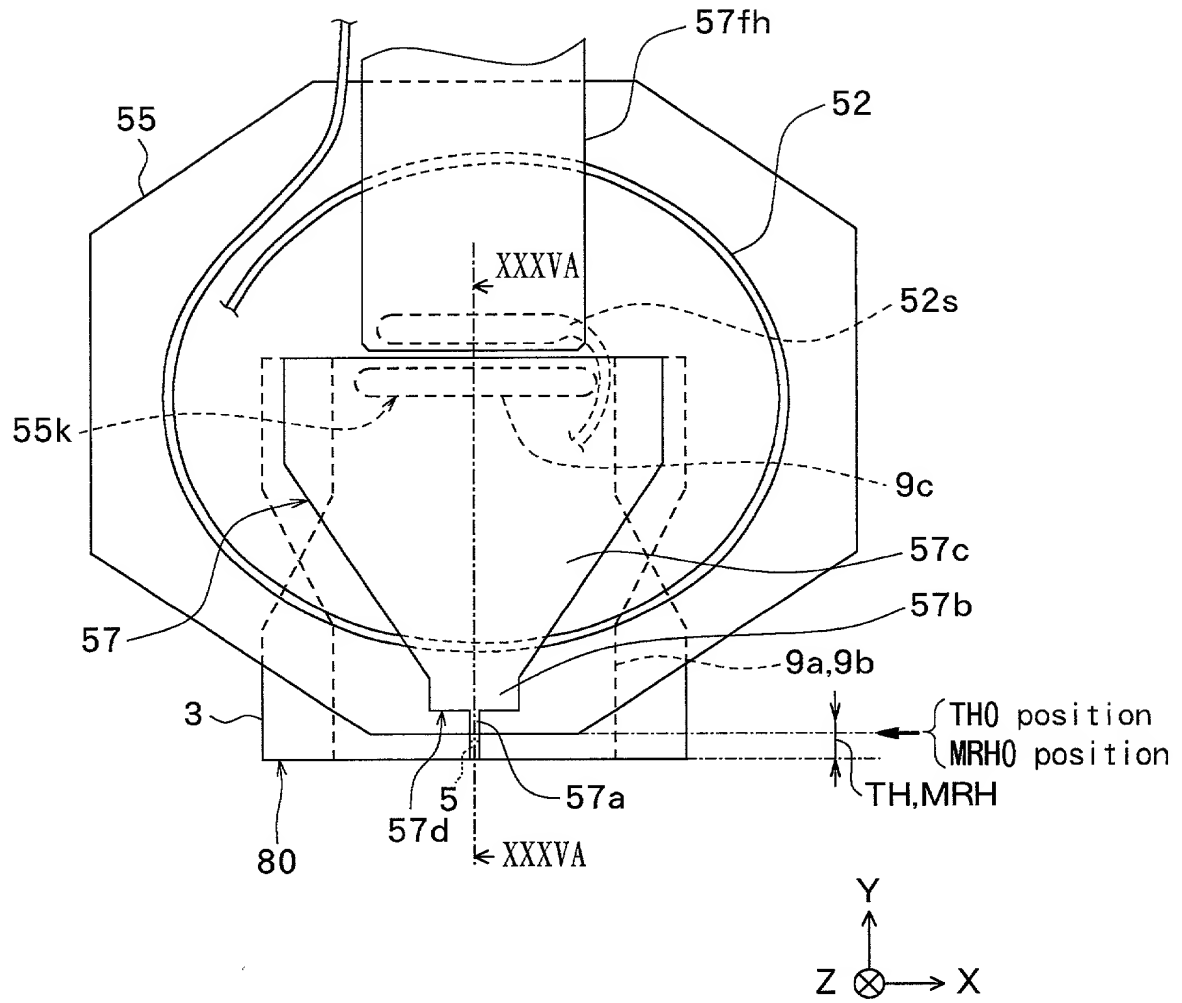


FIG.36

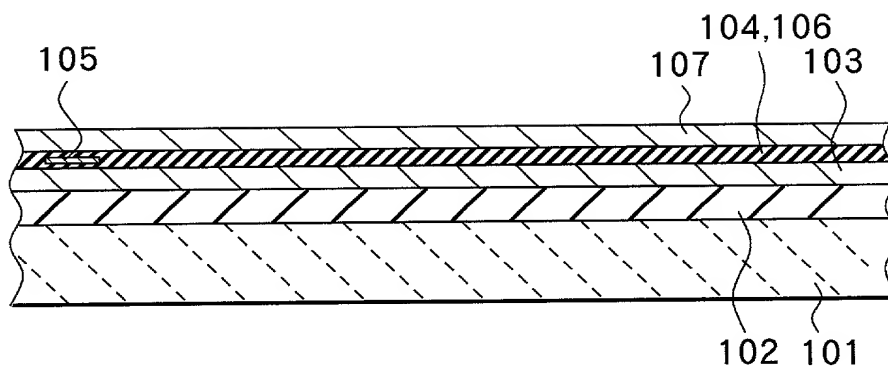


FIG.37

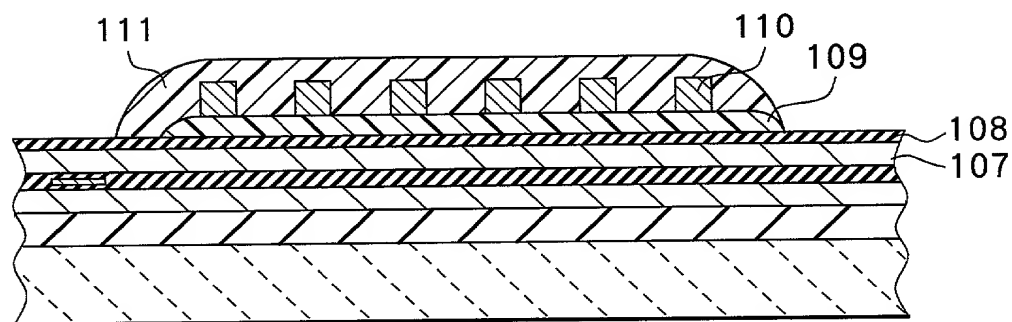


FIG.38

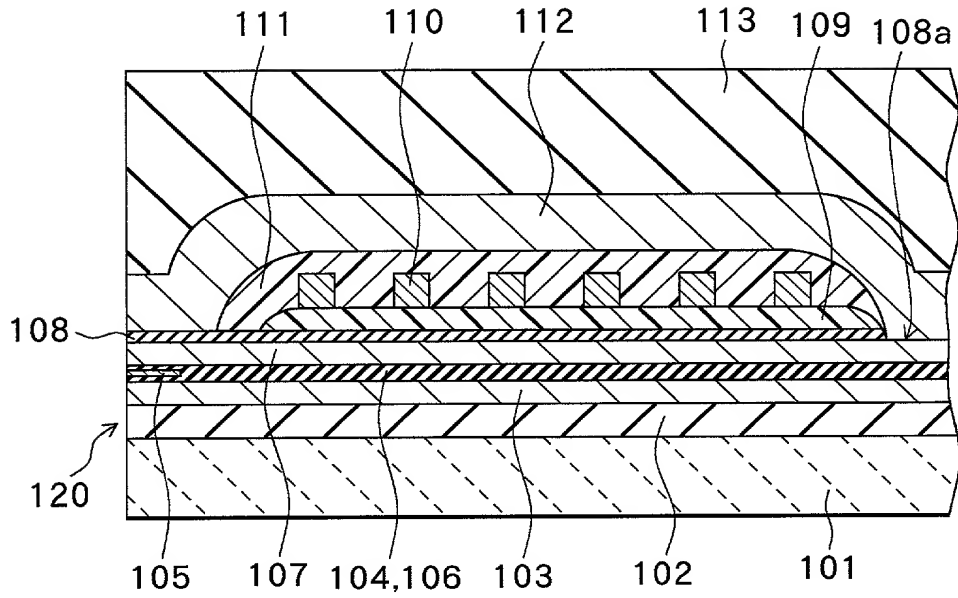


FIG.39



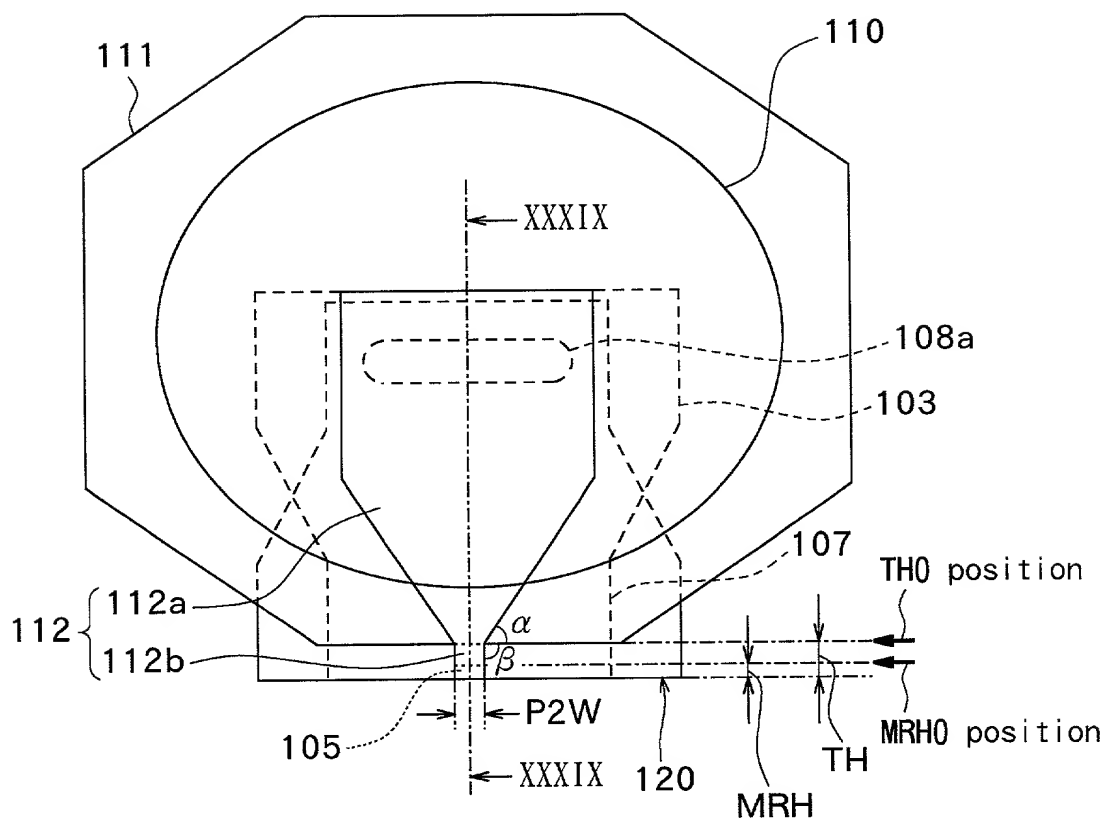


FIG.42
RELATED ART

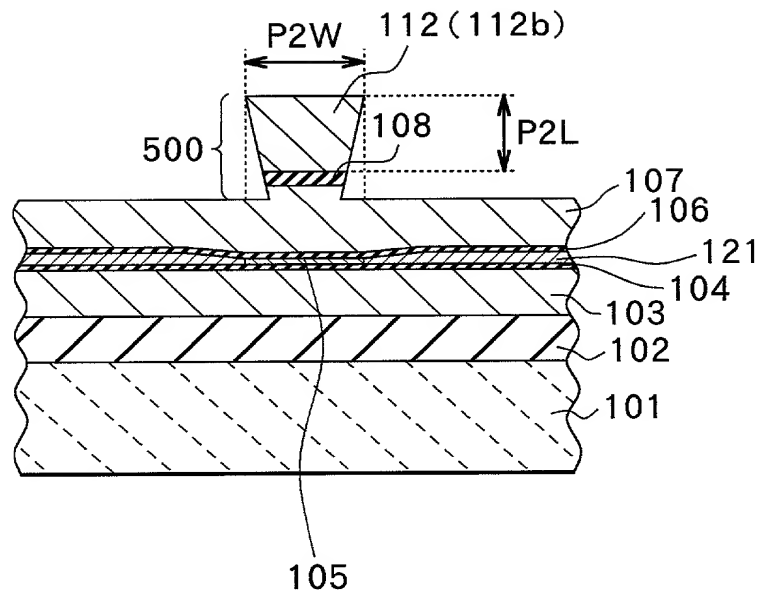


FIG.43
RELATED ART

TO: "IEEE" 09/21/2000